

## К ВОПРОСУ ИЗМЕРЕНИЯ ШАГА ЧЕРВЯЧНЫХ ФРЕЗ

А. А. АСМУС

(Представлена научным семинаром кафедр станков и резания металлов  
и технологий машиностроения)

Для выявления фактической точности червячных фрез достаточно произвести измерение по одной из трех групп проверок, предусмотренных ГОСТ 9324-60.

Выбор той или иной группы проверяемых параметров в значительной мере зависит от средств измерения, имеющихся в распоряжении предприятия.

Наиболее полное представление дают результаты измерений параметров первой группы. Контроль погрешности зацепления в этом случае может быть осуществлен только на специальных приборах типа БВ-5005; PWF-250 и т. п.

На заводах очень часто используется 3 группа, которая предусматривает измерение ряда параметров, в том числе измерение наибольшей погрешности шага  $\Delta t$  и наибольшей накопленной погрешности шага на длине трех соседних шагов  $\Delta t_{\Sigma}$ .

Как правило, контролируется не отклонение осевого шага, а отклонение проекционного шага фрезы (см. позиц. 5, таблица 5 ГОСТ 9324-60).

Величина проекционного шага определяется по формулам:

$$t_{\text{пр}} = t_n \cdot \cos \omega_d \quad (1)$$

или

$$t_{\text{пр}} = t \cdot \frac{H}{H + t}, \quad (2)$$

где  $t_{\text{пр}}$  — проекционный шаг,

$t_n$  — шаг по нормали,

$\omega_d$  — угол наклона винтовых стружечных канавок на делительном цилиндре,

$t$  — осевой шаг,

$H$  — шаг винтовых стружечных канавок.

Как видно из формул (1) и (2), на величину  $t_{\text{пр}}$  влияет погрешность шага винтовых стружечных канавок  $\Delta H$ .

Кроме того, погрешность  $\Delta H$  вызывает смещение режущей кромки с поверхности основного червяка (на рис. 1 и 2 величина  $a$ ).

На рис. 1 показана схема измерения проекционного шага для правой стороны профиля, а на рис. 2 — для левой стороны профиля.

Отклонения проекционного шага от номинального значения составляют:

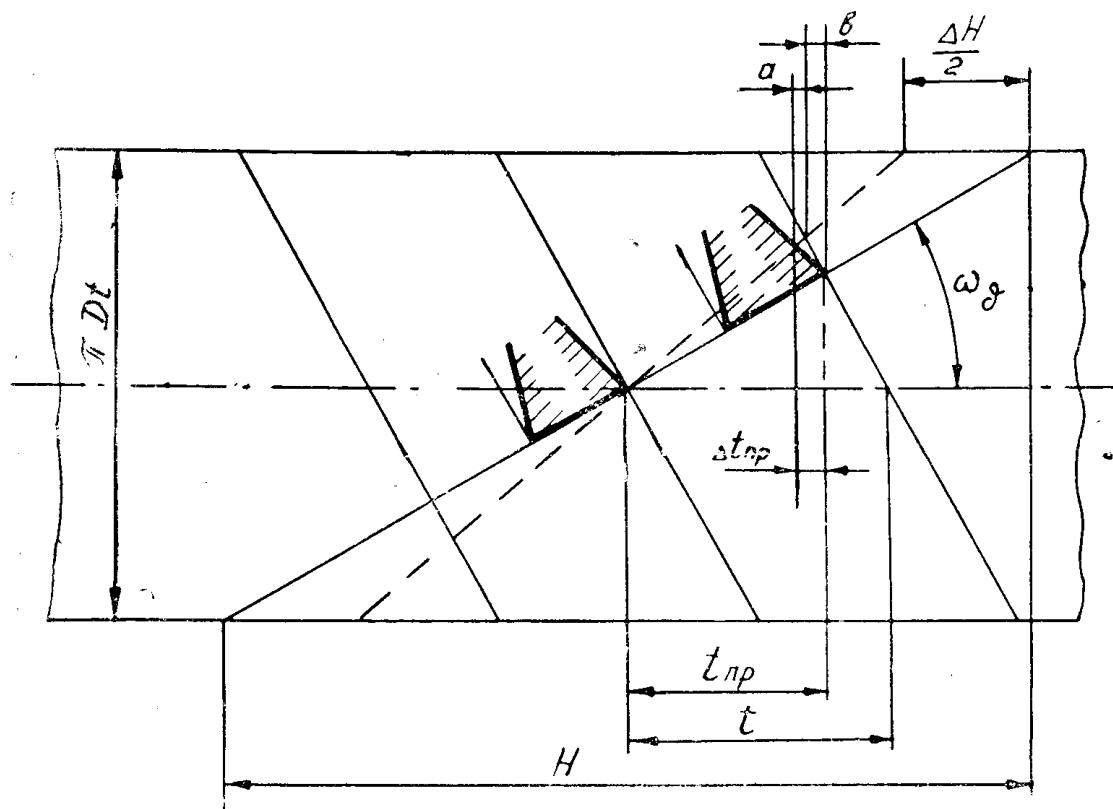


Рис. 1

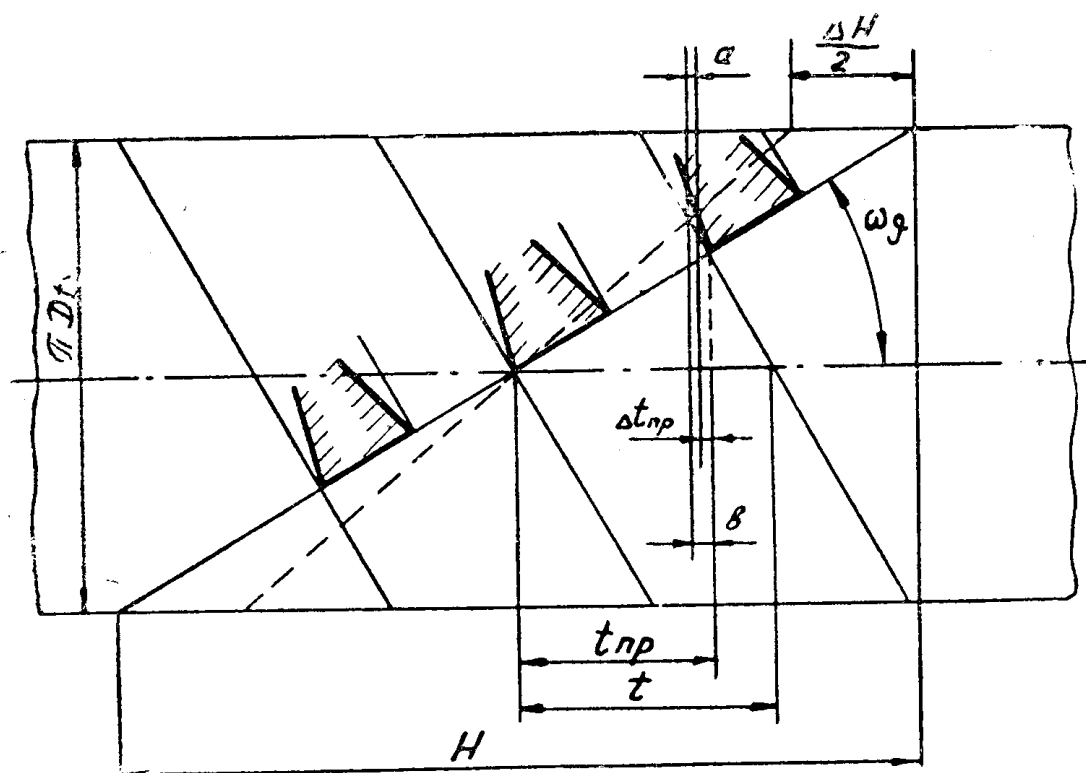


Рис. 2

- а) при измерении по правой стороне профиля  $\Delta t_{np} = b + a$ ,  
 б) при измерении по левой стороне профиля  $\Delta t_{np} = b - a$ ,  
 где  $a$  — смещение режущей кромки червячной фрезы с поверхности основного червячка, вызванное погрешностью шага винтовых стружечных канавок;  
 $b$  — величина искажения проекционного шага, вызванная погрешностью шага винтовых стружечных канавок.  
 Верхние знаки в формулах относятся к правым червячным фрезам, нижние — к левым.
- С достаточной для практики точностью величины  $a$  и  $b$  можно определять по формулам:

$$a = \kappa \cdot z \cdot \sin^2 \omega_d \cdot \cos^2 \omega_d \cdot \sin \alpha \cdot \frac{\Delta H}{H},$$

$$b = \frac{t^2 \cdot \Delta H}{(H + t)(H + t + \Delta H)} [1],$$

где  $\kappa$  — величина затылования фрезы,

$z$  — число зубьев фрезы,

$\alpha$  — угол профиля фрезы.

Для правых червячных фрез класса А типа II по ГОСТ 9324-60 при измерении проекционного шага по правой стороне профиля:

Модуль	$\frac{\delta H}{H}$	$a$	$b$	$\Delta t_{np} = b + a$	$\frac{\Delta t_{np}}{\Delta t} 100\%$	$\frac{3\Delta t_{np}}{\Delta t_{\Sigma}} 100\%$
1	0,03	0,0001	0,00003	0,00013	1,2	2
2,5	0,03	0,0006	0,00027	0,00087	9,2	16
4	0,025	0,0011	0,00063	0,00173	17	25
6	0,025	0,0021	0,00143	0,0035	29	42
10	0,02	0,0035	0,0035	0,0070	44	66
14	0,02	0,0072	0,0084	0,0156	78	117

$\delta H$  — допустимая погрешность шага винтовых стружечных канавок по ГОСТ 9324-60.

То же при измерении по левой стороне профиля:

Модуль	$\frac{\delta H}{H}$	$a$	$b$	$\Delta t_{np} = b - a$	$\frac{\Delta t_{np}}{\Delta t} 100\%$	$\frac{3\Delta t_{np}}{\Delta t_{\Sigma}} 100\%$
1	0,03	0,0001	0,00003	-0,00007	1	1,5
2,5	0,03	0,0006	0,00027	-0,00033	4	6
4	0,025	0,0011	0,00063	-0,00047	5	7
6	0,025	0,0021	0,00143	-0,00067	5,5	8
10	0,02	0,0035	0,0035	0	0	0
14	0,02	0,0072	0,0084	0,0012	6	9

Данные показывают, что для фрез модуля 5  $мм$  и более допустимые по ГОСТ 9324-60 погрешности шага винтовых стружечных канавок  $\delta H$  вызывают недопустимые погрешности при измерении проекционного шага по правой стороне профиля правозаходных фрез.

При измерении проекционного шага правозаходных фрез по левой стороне профиля результаты измерения дают заниженные значения погрешности.

По результатам измерения трудно судить о погрешности винтовой линии фрезы, так как при измерении проекционного шага по правой стороне профиля величина  $b$  и величина  $a$  складываются, а при измерении по левой стороне профиля — вычитаются.

При расчете допусков на шаг винтовых стружечных канавок [4] учитывалось только влияние  $\Delta H$  на наибольшую погрешность винтовой линии фрезы на одном обороте  $\Delta t_b$ . (В источнике [4] величине  $\Delta t_b$  соответствует  $\Delta t_u$  — циклическая ошибка шага).

Значительно большие погрешности возникают при измерении проекционного шага многозаходных червячных фрез.

Кроме вышеизложенных ошибок, связанных со схемой измерения (величины  $a$  и  $b$ ), при измерении многозаходных червячных фрез допускаются ошибки, связанные с расчетом номинального значения  $t_{np}$ . Величина  $t_{np}$  определяется по формулам (1) и (2). В практике контроля было замечено, что для многозаходных фрез формулы (1) и (2) дают различные численные значения  $t_{np}$ .

Многие считают, что формула (2) дает более точные значения.

Так, Д. И. Семенченко [3] утверждает, что «при угле наклона винтовых стружечных канавок  $\omega_d > 7^\circ$  пользоваться формулой (1) нельзя, так как она дает значительные отклонения, связанные с тем, что в действительности мы имеем винтовую линию (а не прямую), расположенную на цилиндрической поверхности и проектируемую на осевую плоскость».

Это утверждение ошибочно.

С. П. Карцев [1] справедливо указывал, что способ измерения проекции нормального шага на осевую плоскость теоретических ошибок не имеет, но не рассматривал контроль многозаходных фрез.

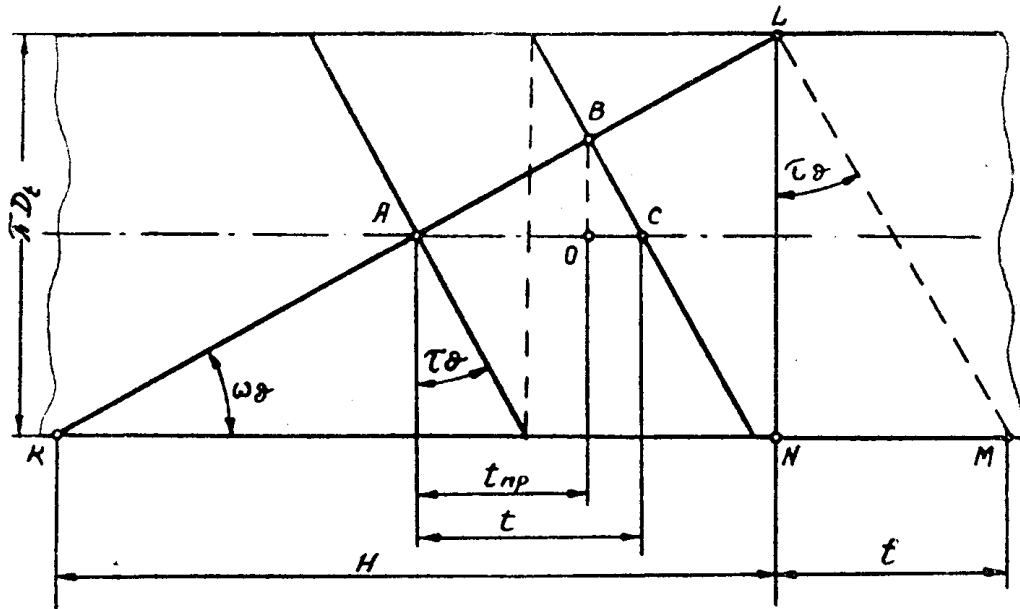


Рис. 3

Из рис. 3 видно, что при различных значениях углов  $\omega_d$  и  $\tau_d$   $\triangle ABC$  и  $\triangle KLM$  подобны:

$$\frac{AO}{KN} = \frac{AC}{KM}, \text{ т. е. } \frac{t_{np}}{H} = \frac{t}{H+t},$$

тогда  $t_{\text{пр}} = t \cdot \frac{t}{H+t}$ , т. е. формула (2) справедлива при различных значениях углов  $\omega_d$  и  $\tau_d$ .

Формула (1) справедлива только при  $\omega_d = \tau_d$ ; действительно, при  $\omega_d = \tau_d$  из рис. 3 имеем:

$$KL = (H+t) \cdot \cos \omega_d \quad \text{и} \quad KL = \frac{H}{\cos \omega_d},$$

тогда  $(H+t) \cdot \cos \omega_d = \frac{H}{\cos \omega_d}$  или  $\frac{H}{H+t} = \cos^2 \omega_d$ . Подставляя это значение в формулу (2), получим:

$$t_{\text{пр}} = t \cdot \cos^2 \omega_d; \text{ имея в виду, что } t = \frac{t_n}{\cos \omega_d}, \text{ получаем } t_{\text{пр}} = t_n \cdot \cos \omega_d,$$

т. е. формулу (1).

Следовательно, расчет по формулам (1) и (2) при любых значениях  $\omega_d$  дает одинаковое значение величины  $t_{\text{пр}}$ .

Действительно, при расчете величины  $t_{\text{пр}}$  для многозаходных фрез по формулам (1) и (2) получаются различные результаты даже при  $\omega_d = \tau_d$ .

Но в этом случае более правильные значения дает формула (1), а не формула (2), так как формула (1) справедлива и для многозаходных, а формула (2) только для однозаходных фрез.

Величину  $t_{\text{пр}}$  для многозаходных фрез можно определить из следующих соображений. Предположим, что на фрезе нарезан только один заход резьбы. Тогда величину проекции хода на осевую плоскость фрезы можно определить по формуле (2):

$$\kappa_{\text{пр}} = \frac{K_0 H}{H + K_0},$$

где  $\kappa_0$  — осевой ход витков фрезы;

$\kappa_{\text{пр}}$  — проекция хода на осевую плоскость фрезы.

Заменяя  $\kappa_0 = t \cdot Z_{\text{зах}}$  и  $\kappa_{\text{пр}} = t_{\text{пр}} \cdot Z_{\text{зах}}$ , где  $Z_{\text{зах}}$  — число заходов червячной фрезы, получим:

$$t_{\text{пр}} = t \frac{H}{H + t \cdot z_{\text{зах}}}. \quad (3)$$

Из формулы (3) видно, что формула (2) представляет частный случай при  $z_{\text{зах}} = 1$ .

При  $\omega_d = \tau_d$ , что имеет место в большинстве случаев, значения  $t_{\text{пр}}$ , подсчитанные по формулам (1) и (3), совпадают.

Следует обратить внимание еще на одну особенность.

Из формулы (1) следует, что величина  $t_{\text{пр}}$  зависит от  $\omega_d$ . При измерении  $t_{\text{пр}}$  измерительный наконечник устанавливается не точно по среднему диаметру  $D_t$ , а с некоторым отклонением  $\frac{\Delta D_t}{2}$  (рис. 4).

Величины  $\omega_d$  в точках 1 и 2 различны, что казалось бы должно привести к изменению величины  $t_{\text{пр}}$ .

В действительности величина  $t_{\text{пр}}$  остается постоянной.

Докажем это положение.

На рис. 5 I — развертка винтовой линии поверхности стружечной канавки, проходящая через точку 1 (рис. 4);

II — развертка винтовой линии поверхности основного червячка фрезы, проходящая через точку 1 (рис. 4);

III — развертка винтовой линии поверхности стружечной канавки, проходящая через точку 2 (рис. 4);

IV — развертка винтовой линии поверхности витка основного червяка фрезы, проходящая через точку 2 (рис. 4).

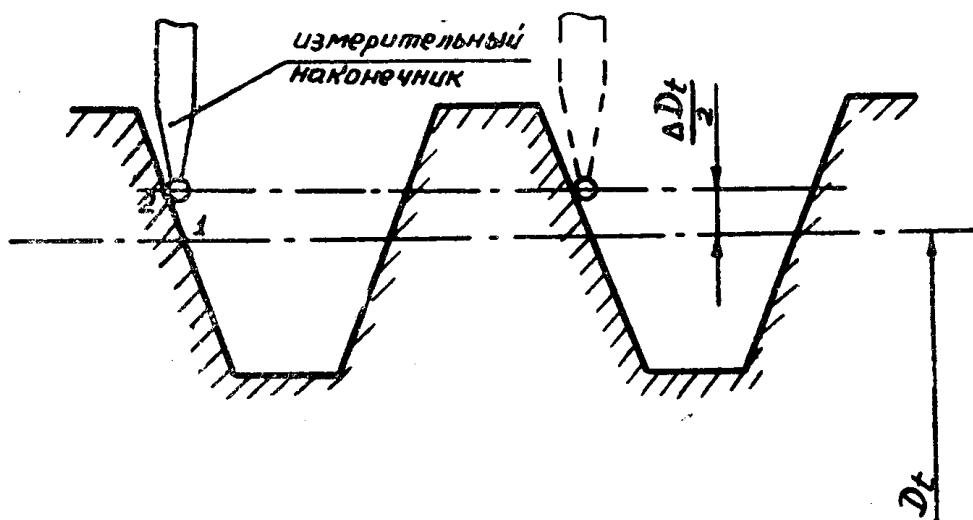


Рис. 4.

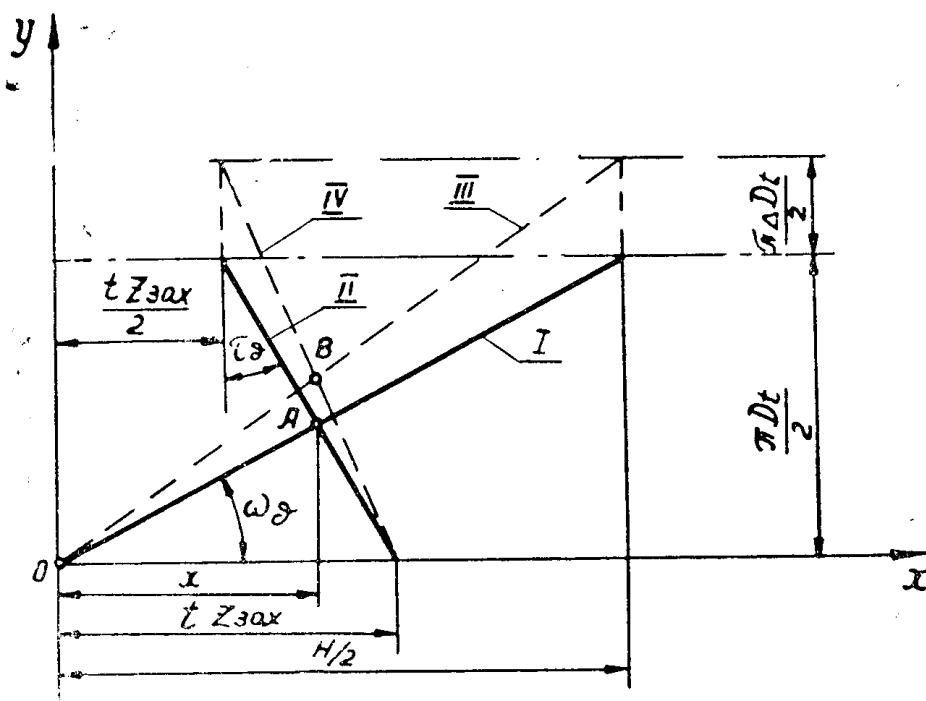


Рис. 5

Уравнение прямой 1 в координатах  $XOY$ :

$$y = \frac{\pi D_t}{H} x.$$

Уравнение прямой II:

$$y = \pi D_t \left( 1 - \frac{x}{t \cdot z_{\text{зах}}} \right).$$

Абсцисса точки  $A$  пересечения прямых I и II:

$$\frac{\pi D_t}{H} x = \pi D_t \left( 1 - \frac{x}{t \cdot z_{\text{зах}}} \right)$$

$$x = t \cdot z_{\text{зах}} \frac{H}{H + t \cdot z_{\text{зах}}}.$$

Уравнение прямой III:

$$y = \frac{\pi (D_t + \Delta D_t)}{H} x.$$

Уравнение прямой IV:

$$y = \pi (D_t + \Delta D_t) \left( 1 - \frac{x}{t \cdot z_{\text{зах}}} \right).$$

Абсцисса точки  $B$  пересечения прямых III и IV:

$$\pi (D_t + \Delta D_t) \frac{x}{H} = \pi (D_t + \Delta D_t) \left( 1 - \frac{x}{t \cdot z_{\text{зах}}} \right)$$

$$x = t \cdot z_{\text{зах}} \frac{H}{H + t \cdot z_{\text{зах}}}.$$

Абсциссы точек  $A$  и  $B$  одинаковы, следовательно, величина  $t_{\text{пр}}$  не зависит от положения измерительного наконечника по высоте профиля фрезы.

### Выводы

1. Измерение проекционного шага фрез по ГОСТ 9324-60 допустимо только для фрез до модуля 5 мм.

2. Измерение проекционного шага у фрез модулем от 5 мм до 12 мм допустимо при условии уменьшения допуска на шаг винтовых стружечных канавок ( $\delta H$ ) в два раза.

3. Измерение проекционного шага у фрез модулем от 13 мм до 20 мм допустимо при условии определения номинального значения  $t_{\text{пр}}$  по формуле (2), исходя из фактических значений  $H$ , полученных при затачивании фрезы.

Для определения номинального значения  $t_{\text{пр}}$  в зависимости от  $H$  могут быть составлены таблицы или номограммы.

4. Для многозаходных червячных фрез величина  $t_{\text{пр}}$  должна определяться по формуле (3), исходя из фактического значения величины  $H$ , полученного при затачивании фрезы.

5. Определение величины  $t_{\text{пр}}$  по формуле (2) для многозаходных фрез приводит к ошибочным результатам, так как формула (2) не учитывает числа заходов.

6. Смещение измерительного наконечника в радиальном направлении не вносит дополнительных погрешностей при измерении проекционного шага.

### ЛИТЕРАТУРА

1. С. П. Карцев. Измерение шага червячных фрез. Ж. Станки и инструмент, № 11, 1950.
2. И. И. Семенченко, В. М. Матюшин, Г. Н. Сахаров. Проектирование металорежущих инструментов. Машгиз, 1962.
3. Д. И. Семенченко. Технология изготовления червячных фрез. ЦБТИ МСИП СССР, 1955.
4. ВНИИ. Фрезы червячные, чистовые, однозаходные для цилиндрических зубчатых колес с эвольвентным профилем. (Взамен ГОСТ 3346-46 и ГОСТ 2973-45). Проект ГОСТ (первая редакция) Москва, 1959.
5. ГОСТ 9324-60. Фрезы червячные чистовые, однозаходные для цилиндрических зубчатых колес с эвольвентным профилем.
6. А. Н. Грубин, М. Б. Лихциер, М. С. Погоцкий. Зуборезный инструмент. Часть II. Машгиз, 1946.